

名古屋大学 学生員 草間 晴幸
名古屋大学 正員 福本 勇士

1. はじめに 繰り返し荷重を受ける構造物の荷重履歴特性については、従来 単一部材または簡単なラーメンを対象として、耐震設計の見地より数多くの研究が行なわれているが、これらを構成する板要素に対する履歴特性についての解析的研究はほとんど行なわれていない。著者らは先に繰り返し面外荷重を受ける周辺単純支持板に対して、幅厚比、荷重状態を種々変化させることにより、いくつかの興味ある特性を解析的に明らかにした。
【文献1】 本論文は、その研究の継続として、繰り返し面内荷重を受ける板の履歴挙動を数値計算的に求めたものである。

2. 解析手法 解析の対象としたのは、曲げに対する単純支持、シャイバ作用に対しては周辺せん断力による拘束がなく、一方向の対辺に一樣変位を受ける、それと直角方向の対辺においては拘束が自由である薄板である。
Theory of the intermediate class of deformation による面内力を受けた薄板の釣り合い、および適合条件式は次式で表わされる。

$$\Delta \Delta w = \frac{1}{D} L(\phi, \bar{w}) \quad (1) \quad \Delta \Delta \phi = \frac{E}{2} \{ L(\bar{w}, \bar{w}) - L(w_0, w_0) \} \quad (2)$$

ここで、 Δ : Laplacian, D : 板の曲げ剛度, E : 弾性係数, t : 板厚, w : たわみ, ϕ : 応力関数, $\bar{w} = w + w_0$, w_0 : 初期たわみである。また非線形演算子 L は次式で定義される。

$$L(\phi, \bar{w}) = \frac{\partial^2 \phi}{\partial x^2} \cdot \frac{\partial^2 \bar{w}}{\partial x^2} - 2 \frac{\partial^2 \phi}{\partial x \partial y} \cdot \frac{\partial^2 \bar{w}}{\partial x \partial y} + \frac{\partial^2 \phi}{\partial y^2} \cdot \frac{\partial^2 \bar{w}}{\partial y^2} \quad (3)$$

さらに、式(1), (2)に対して塑性変形の影響を考慮することができる項を加える。

$$\Delta \Delta w = \frac{1}{D} L(\phi, \bar{w}) - \frac{1}{t} \sum (K \cdot I\bar{F}_m)_n \quad (4) \quad \Delta \Delta \phi = E \left[\frac{1}{2} \{ L(\bar{w}, \bar{w}) - L(w_0, w_0) \} - \sum_n (K \cdot I\bar{F}_m)_n \right] \quad (5)$$

式中、 K は次式で表わされる演算子マトリックス, $I\bar{F}_m$, $I\bar{F}_n$ は塑性変形に従属するベクトル量である。

$$K = \left[\frac{\partial^2}{\partial x^2} \frac{\partial^2}{\partial y^2} \frac{\partial^2}{\partial x^2 y} \right], \quad I\bar{F}_m = [K(\frac{\partial f}{\partial m_x} + \nu \frac{\partial f}{\partial m_y}), K(\frac{\partial f}{\partial m_y} + \nu \frac{\partial f}{\partial m_x}), (1-\nu)K \frac{\partial f}{\partial m_{xy}}], \quad I\bar{F}_n = [\mu \frac{\partial f}{\partial m_y}, \mu \frac{\partial f}{\partial m_x}, \lambda \frac{\partial f}{\partial m_{xy}}] \quad (6)$$

ここで、 ν : ポアソン比, μ : 塑性ポテンシャル, λ : 塑性流れ係数, m_x, m_y : 板の曲げ応力, 膨張応力の各成分を全塑性モーメント, 塑性軸応力をそれぞれ無次元化したものである。非線形連立方程式(4), (5)に対して閉じた型の解を得るために、式(4)右辺の第1項、第2項の非線形関数をそれぞれ Π , すなは式(5)右辺[]内の第1項、第2項の非線形関数をそれぞれ Π , Γ と置き、これら2関数と w および ϕ の特解部分 ϕ_p をフーリエ重級数に展開する。さらに、板全体を矩形セグメントに分割し、4つの非線形関数はこのセグメントで一定とし、各部におけるこれらの値を Π_j , Γ_j , A_j , I_j で表わす。その結果、式(4), (5)の解は次式となる。

$$w = \frac{16}{\pi^2} \delta_{ij} \left[\frac{1}{D} \Pi_j - \frac{1}{t} (A_j)_{ij} F_j \right] \quad (7) \quad \phi_p = \frac{16E}{\pi^2} \delta_{ij} \left[A_j F_j - (\Gamma_j)_{ij} F_j \right] \quad (8)$$

ここで F_j は影響係数, δ_{ij} はクロネッカーデルタ, 添字 i, j に対しては総和規約が成立する。またシャイバ作用に関する境界条件を満足するために、応力関数の補足解 ϕ_e を加える。 ϕ_e は参考文献[2]に示されるとおり、一定の応力場と軸応力およびせん断応力に対する Levy 型の応力場の和で表される。最終的に面内力を受けて、載荷対辺において一樣変位を生じる板の解は

$$w = \frac{16}{\pi^2} \delta_{ij} \left[\frac{1}{D} \Pi_j - \frac{1}{t} (A_j)_{ij} F_j \right] \quad (9) \quad \phi = \frac{16E}{\pi^2} \delta_{ij} \left[A_j F_j - (\Gamma_j)_{ij} F_j \right] + \frac{4}{\pi} \delta_{ij} \left[(1+\nu) \lambda G_e + 2(t_k H_e + t_k \bar{H}_e) \right] - \frac{1}{2} t_k \gamma^2 \bar{H}_e \quad (10)$$

式中、 G_e, H_e, \bar{H}_e は調整応力の離散値, t_k, t_k' に対する影響係数である。式(9), (10)から分かるように、塑性に関する物理量が自己平衡にある仮想的な荷重として、たわみへの補正項となっている。弾性限度を超えた非弾性領域からの降荷過程において、この仮想荷重が自己平衡のまま残留し、その結果、残留塑性変形を生じさせることになる。よって式(9), (10)を用い、負荷-降荷過程に対する履歴挙動を連続的に解析することが可能となる。

3. 計算結果 計算例として幅厚比 $b/t = 80$ および 40 の正方形板の解析を行った。降伏点は SS41 鋼材を対象として $\sigma_u = 2800 \text{ kg/cm}^2$ とし、初期たわみは $w_0/t = 0.1$ を採用した。図-1 は $b/t = 80$ における面内作用荷重と端変位 (edge displacement) との関係を示したものである。荷重は座標軸に示されたパラメータで無次元化しており、変位 Δ が正の時に圧縮荷重が作用していることを示す。端変位 Δ を増加させると弾性屈展荷重 C_d を越え後座屈領域に達し、その後弾性限界点に到達する。この時、板のコーナーセグメントが塑性状態に達したことを見出す。弾性限界点から 5% の荷重増加で終局状態となる。 $(\sigma_u = 1700 \text{ kg/cm}^2)$ 弹性限界点と終局状態との間の任意の点から除荷し、除荷開始時の圧縮変位と同量の引張り端変位が生じるまで端変位を逆方向に作用させ、除荷による挙動を観察することができる。図には 2 点から除荷した曲線を示す。図に示されるように引張りによる塑性変形の進展は生じない。この原因は次のように考えられる。圧縮変位を作用させると面外方向のたわみが生じ、そのたわみによる曲げモーメント応力が発生する。式(3)中の塑性ポテンシャルは $T_{Bm}m_{ee}$ 型の曲げ応力と軸応力が連成した形式の関数であり ($\tau = f_m + f_a$)、後座屈領域においては塑性ポテンシャルに対する曲げ応力の寄与が大きいが、引張り応力状態になると面外方向のたわみが消滅し、塑性変形を生じさせて自己平衡を保つていて引張り荷重が残留していくにちがくわらず、塑性開始の条件を満たすことができない。また仮想荷重が変化しないので、引張り応力状態後の再圧縮に対する除荷曲線をそのまま再び、たどっていきこむことになる。図-2 には、図-1 と同じ板の面内荷重と板中央点のたわみとの関係が示してある。上述したように、引張り端変位による面外たわみの消滅を観察することができる。また、どのように引張り端変位が増加しようと、面外初期たわみと反対方向へのたわみは発生せず、最終的には塑性屈展状態に接近していくことになり、工学的認識を考え合わせて、本解析の妥当性が認められると思われる。

図-3 には $b/t = 40$ における面内作用荷重と端変位との関係を示す。この場合には、後座屈領域が顕著に現われない内に塑性領域になってしまふため、曲線がほぼ線形理論曲線と接近した状態となる。また弾性限界点から終局強度 ($\sigma_u = 2520 \text{ kg/cm}^2$) までは 1% の増加しか生じない。除荷開始時の圧縮端変位と同量の引張り端変位を作用させても $b/t = 80$ の場合と同様、塑性領域の進展は生じない ($\beta/\alpha_y = 0.9$) ことがわかった。以上、若干の計算例を示したが、溶接による残留応力の影響など、問題が残っていると思われる。

【参考文献】 1. 草間, 福本, 第25回年次学術講演会講演概要集 I, pp. 87~88

2. 関村, 吉田, 土木学会論文集 第206号 1972年10月 pp. 1~11.

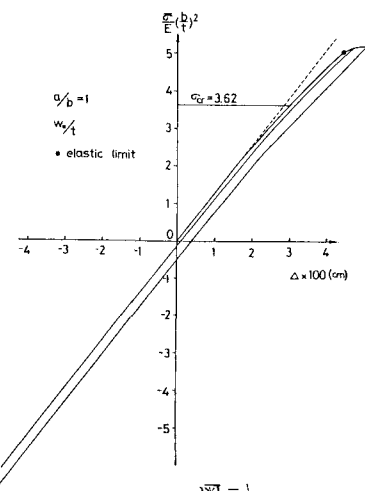


図-1

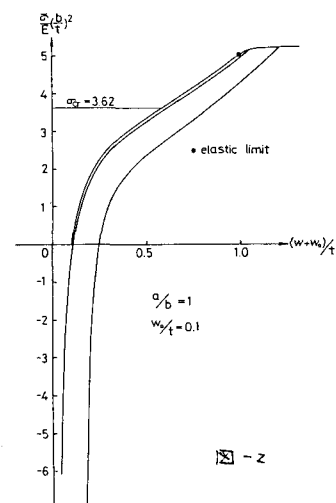


図-2

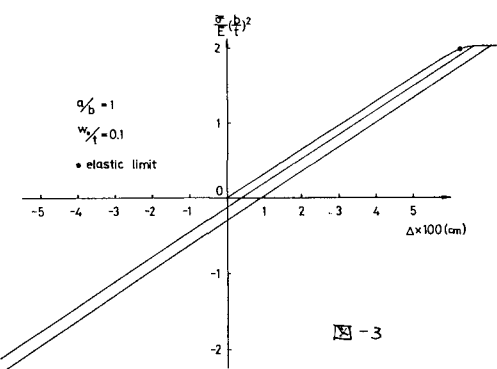


図-3